

بِسْمِ اللَّهِ الرَّحْمَنِ الرَّحِيمِ

۱۰۲۰۷۷

دانشگاه میرزا  
مجتمع فنی مهندسی

دانشکده مکانیک

پایان نامه

برای دریافت درجه کارشناسی ارشد در رشته مهندسی مکانیک - تبدیل انرژی

بررسی عددی میدان جریان و انتقال حرارت در کانالهای U شکل خنک

کننده پره های توربین همراه با دندانه

اطلاعات کتابخانه  
کتابخانه

استاد راهنما

دکتر احمد سوهان کار

استاد مشاور

دکتر علی اکبر دهقان

نگارش

روح... دیداری اردکانی

۲۴ / ۹ / ۱۳۸۷

بهمن ۱۳۸۶

۱۰۲۵۷۷

تقدیم بہ:

درفذاکار  
پ

و

مادر مہربانم...

۱۳۸۷ / ۹ / ۲۴

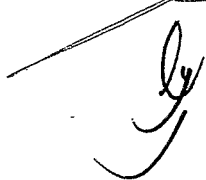


مدیریت تحصیلات تکمیلی

صور تجلسه دفاعیه پایان نامه دانشجوی  
دوره کارشناسی ارشد

شناسه: ب/ک/۳

جلسه دفاعیه پایان نامه تحصیلی آقای/خانم: روح... دیداری اردکانی  
رشته/گرایش: مهندسی مکانیک - تبدیل انرژی  
تحت عنوان: بررسی عددی میدان جریان و انتقال حرارت در کانالهای U شکل خنک کننده پره‌های توربین  
همراه با دندان‌ه  
و تعداد واحد: ۶ در تاریخ ۱۴/۱۲/۱۳۸۶ با حضور اعضای هیأت داوران (به شرح ذیل) تشکیل گردید.  
پس از ارزیابی توسط هیأت داوران، پایان نامه با نمره: به عدد ۱۸٫۷۵ به حروف هجده و هفتاد و پنج درصد  
و درجه عالی مورد تصویب قرار گرفت.

عنوان	نام و نام خانوادگی	امضاء
استاد/استادان راهنما:	آقای دکتر احمد سوهان کار	
استاد/استادان مشاور:	آقای دکتر علی اکبر دهقان	
متخصص و صاحب نظر داخلی:	آقای دکتر شهرام طالبی	
متخصص و صاحب نظر خارجی:	آقای دکتر مهرداد تقی زاده منظری	

نماینده تحصیلات تکمیلی دانشگاه (ناظر)

نام و نام خانوادگی: آقای دکتر علی اکبر تدین

امضاء:



## چکیده

بررسی عددی میدان جریان سیال و انتقال حرارت در یک کانال U شکل خنک کننده پره‌های توربین گاز به صورت سه بعدی (برای پره‌های ساکن و چرخان) شبیه سازی عددی شده و با نتایج تجربی مقایسه شده است. اولین هندسه مورد مطالعه (هندسه مرجع) دارای دندانه‌هایی با مقطع مربعی و زاویه ۴۵ درجه می‌باشد.

در فصل اول به معرفی توربین گاز و روابط ترمودینامیکی حاکم بر عملکرد آن پرداخته شده است. سپس انواع روش‌های خنک‌کاری پره‌های توربین گاز و اساسا علت نیاز به خنک‌کاری در آن‌ها پرداخته شده است. در فصل دوم، تاریخچه مطالعات تجربی و عددی انجام شده در زمینه خنک‌کاری داخلی پره‌ها مورد بررسی قرار گرفته است.

در فصل سوم صورت مسئله، هندسه کانال و انواع دندانه‌های مورد استفاده، شرایط مرزی و نحوه ایجاد شبکه روی میدان حل شرح داده شده است. سپس انواع مدل‌های تک معادله‌ای و دو معادله‌ای برای حل در اعداد رینولدز ۵۰۰۰، ۱۰۰۰۰ و ۲۵۰۰۰ به کار گرفته شده و در نهایت مناسب‌ترین مدل برای هر عدد رینولدز انتخاب شده است. نتایج این مطالعه نشان می‌دهد که از بین مدل‌های یک و دو معادله‌ای مدل  $k - \epsilon$  RNG در رینولدز ۵۰۰۰ و مدل  $k - \omega$  SST در اعداد رینولدز ۱۰۰۰۰ و ۲۵۰۰۰ نزدیک‌ترین پیش‌بینی را در مقایسه با نتایج تجربی، انجام می‌دهند.

در فصل چهارم به بررسی اثر تغییر ابعاد (ارتفاع و عرض دندانه) و تغییر زاویه دندانه بر میدان جریان و انتقال حرارت کانال پرداخته شده است. و در نهایت با منظور کردن هر دو پارامتر افت فشار و بهبود انتقال حرارت، هندسه بهینه معرفی شده است.

در فصل پنجم، از روش شبیه‌سازی ادی بزرگ برای حل عددی استفاده شده است. و این موضوع مورد مطالعه قرار گرفته است که با استفاده از این روش چه مقدار بر دقت حل عددی افزوده شده و نتایج آن با نتایج تجربی و هم حل عددی با مدل‌های دو معادله‌ای، مورد مقایسه قرار گرفته است. نتایج نشان می‌دهد، استفاده از این روش، سبب ایجاد کمترین خطای محاسبات عددی نسبت به نتایج تجربی می‌شود.

## فهرست مطالب

عنوان.....	صفحه.....
فهرست جداول.....	س.....
فهرست شکلها.....	ه.....
فهرست علائم اختصاری.....	ع.....
فصل اول: مقدمه ای بر روش های خنک کاری توربین های گاز.....	۱.....
۱-۱- مقدمه.....	۲.....
۲-۱- سیکل برایتون.....	۵.....
۳-۱- محدودیتهای استفاده از دماهای بالا.....	۶.....
۴-۱- خنک کاری پره ها.....	۷.....
۱-۴-۱- خنک کاری داخلی.....	۹.....
۱-۱-۴-۱- روش برخورد جت.....	۱۰.....
۲-۱-۴-۱- خنک کاری با استفاده از پره های سوزنی.....	۱۱.....
۳-۱-۴-۱- خنک کاری با استفاده از کانال های دنداندار.....	۱۲.....
۵-۱- پدیده های جریان سیال در کانال های خنک کننده پره های توربین.....	۱۵.....
۱-۵-۱- مکانیزم برش.....	۱۶.....
۲-۵-۱- جریان های ثانویه.....	۱۶.....
۳-۵-۱- افزایش و کاهش شتاب سیال.....	۱۷.....
۴-۵-۱- پدیده جدایش.....	۱۷.....
۵-۵-۱- اثرات بویانسی.....	۱۷.....
فصل دوم: مروری بر تاریخچه مطالعات انجام شده.....	۱۹.....
۱-۲- مقدمه.....	۲۰.....

- ۲-۳- مطالعات تجربی ..... ۲۱
- ۲-۳-۱- تاثیر شکل هندسی دندانه ها بر الگوی جریان و انتقال حرارت ..... ۲۲
- ۲-۳-۲- بررسی تاثیر سطح مقطع متغیر کانال خمیده بر انتقال حرارت ..... ۲۸
- ۲-۳-۳- بررسی تاثیر دوران کانال خمیده بر انتقال حرارت آن ..... ۳۱
- ۲-۳-۴- بررسی تاثیر آرایش دندانه ها بر جریان و انتقال حرارت ..... ۳۸
- ۲-۴- مطالعات عددی ..... ۴۸
- نتیجه گیری: ..... ۶۱
- فصل سوم: شرح مساله و معادلات تحقیق حاضر ..... ۶۲
- ۳-۱- مقدمه ..... ۶۳
- ۳-۲- شرح هندسه‌های مورد مطالعه ..... ۶۴
- ۳-۳- شبکه ..... ۶۶
- ۳-۴- شرایط مرزی و خواص سیال ..... ۶۷
- ۳-۵- روشهای حل عددی ..... ۶۷
- ۳-۶- مختصری از تاریخچه توربولانس و معرفی مدل‌های توربولانسی ..... ۶۸
- ۳-۶-۱- اسکیل‌های کولموگروف ..... ۷۰
- فصل چهارم: بررسی نتایج (اثر تغییر ابعاد و زاویه دندانه‌ها بر عملکرد کانال) ..... ۷۲
- ۴-۱- مقدمه ..... ۷۳
- ۴-۲- انتخاب روش عددی مناسب برای حل مسئله ..... ۷۴
- ۴-۳- مقایسه نتایج انواع مدل‌های توربولانسی برای هندسه اول و دوم تحت شرایط مرجع [۱۲] ..... ۷۵
- ۴-۳-۱- تفسیر نمودارهای ناسلت موضعی با استفاده از بررسی فیزیک جریان ..... ۸۵

- ۴-۴- بررسی تاثیر تغییر ارتفاع دندانها ..... ۱۰۲
- ۵-۴- بررسی تاثیر تغییر عرض دندانها ..... ۱۱۷
- ۶-۴- بررسی تاثیر تغییر زاویه دندانها در میدان جریان ..... ۱۲۹
- ۷-۴- بررسی مستقل از شبکه بودن حل عددی ..... ۱۴۵
- فصل پنجم: بررسی نتایج سه بعدی و غیردائم - شبیه سازی ادی های بزرگ ..... ۱۴۷
- ۱-۵- مقدمه ..... ۱۴۸
- ۲-۵- مقایسه نتایج تجربی و LES ..... ۱۵۶
- ۳-۵- نمودارهای افت فشار و ضریب عملکرد حرارتی کانال ..... ۱۶۲
- ۴-۵- نحوه رشد یک گردابه روی یک دندان ..... ۱۶۳

## فهرست جداول

- جدول ۱-۱- تاثیر عوامل هندسی و شرایط مرزی بر ایجاد پدیده های مختلف درون میدان جریان ----- ۳۷
- جدول ۱-۲- انواع دندانهاى مطالعه شده توسط مرجع [4] ----- ۴۶
- جدول ۲-۲- حالت های مختلف بررسی شده توسط مرجع [16] ----- ۷۴
- جدول ۳-۲- نتایج مربوط به مرجع [19] (نتایج داخل پرانتز مربوط به محاسبه شبکه با تراکم بالاتر است). -- ۸۲
- جدول ۱-۳- مشخصات انواع هندسه‌های مورد مطالعه ----- ۸۷
- جدول ۱-۴- مقایسه خطای نسبی ناشی از به کار بردن مدل‌های عددی برای هندسه دوم، تحت شرایط [۱۲] ----- ۱۰۹
- جدول ۲-۴- مقایسه خطای موجود در مقادیر ناسلت موضعی ناشی از تفاوت تراکم شبکه ----- ۱۷۱
- جدول ۱-۵- مقایسه درصد خطای نسبی مدل‌های عددی نسبت به نتایج تجربی [12] برای ناسلت موضعی ----- ۱۸۹
- جدول ۲-۵- مقدار ورتیستی در مرکز گردابه (در ثانیه دوازدهم) ----- ۱۹۷

## فهرست شکل‌ها

### فصل اول

- شکل ۱-۱- بخش‌های مختلف یک توربین گاز [1] ----- ۳
- شکل ۱-۲- سیکل بسته توربین گاز ----- ۴
- شکل ۱-۳- سیکل باز توربین گاز ----- ۴
- شکل ۱-۴- انواع خنک‌کاری در پره توربین [1] ----- ۸
- شکل ۱-۵- خنک‌کاری به روش برخورد جت و آرایش جت‌ها در یک ایرفویل [1] ----- ۱۱
- شکل ۱-۶- نمایی از رژیم جریان تحت تاثیر دندان‌ها در یک کانال خنک‌کننده [1] ----- ۱۳
- شکل ۱-۷- نحوه ایجاد جریان‌های ثانویه تحت تاثیر دندان‌ها [1] ----- ۱۴
- شکل ۱-۸- نمایی از موقعیت یک کانال خنک‌کننده در پره و رفتار جریان داخل آن [2] ----- ۱۵

### فصل دوم

- شکل ۲-۱- قراردادهای نام‌گذاری در یک کانال خنک‌کاری داخلی [2] ----- ۲۱
- شکل ۲-۲- کانال‌های مورد بررسی توسط مرجع [3] ----- ۲۳
- شکل ۲-۳- نمونه‌ای از نواحی برخورد ایجاد شده توسط جریان اصلی در یک مقطع از کانال بدون دندان‌ها [3] ----- ۲۴
- شکل ۲-۴- کانتور  $Nu/Nu_0$  برگرفته از نتایج تجربی [5] نشان‌دهنده تطابق نواحی با انتقال حرارت بالا روی نقاط برخورد در همان مقطع از کانالی با همان مشخصات ----- ۲۴
- شکل ۲-۵- کانتورهای  $Nu/Nu_0$  برای کانال دندان‌دار در همان مقطع شکل ۲-۳ ----- ۲۵
- شکل ۲-۷- توزیع انتقال حرارت، مولفه‌های سرعت و انرژی جنبشی توربولانسی، پشت یک دندان‌تنها [4] ----- ۲۷
- شکل ۲-۸- توزیع انتقال حرارت و ضریب اصطکاک محدوده یک سری از دندان‌ها [4] ----- ۲۷
- شکل ۲-۹- هندسه مورد استفاده در مرجع [6] ----- ۲۸

شکل ۲-۱۰- مقایسه انتقال حرارت بین کانال همگرا-واگرا و کانال مقطع ثابت برای حالت بدون دندانه [6]

۲۹ -----

شکل ۲-۱۱- مقایسه عملکرد حرارتی کانال همگرا-واگرای دارای دندانه با کانال مقطع ثابت دارای دندانه

[6] ----- ۳۰

شکل ۲-۱۲- مقایسه عملکرد حرارتی کانال همگرا-واگرا در دو حالت با و بدون دندانه [6] ----- ۳۱

شکل ۲-۱۳- رفتار جریان تحت تاثیر دندانه ها در نواحی دور از خم (A) بدون دوران (B) دارای دوران [8]

۳۲ -----

شکل ۲-۱۴- رفتار جریان تحت تاثیر دندانه ها در ناحیه خم: (A) بدون دوران (B) دارای دوران [8] -- ۳۳

شکل ۲-۱۵- کانتورهای عدد نوسلت برای یک کانال خمیده، دندانه دار و ساکن [8] ----- ۳۴

شکل ۲-۱۶- کانتورهای عدد نوسلت برای یک کانال خمیده دندانه دار و دارای دوران [8] ----- ۳۴

شکل ۲-۱۷- نمایی از هندسه کانال در مرجع [9] ----- ۳۵

شکل ۲-۱۸- توزیع سرعت در  $x/d_h = -2.6$  ----- ۳۶

شکل ۲-۱۹- توزیع سرعت در ناحیه خم ----- ۳۶

شکل ۲-۲۰- توزیع سرعت در  $x/d_h = 1.3$  ----- ۳۷

شکل ۲-۲۱- متوسط سطحی نسبت نوسلت ها در کانال بررسی شده توسط [9] ----- ۳۷

شکل ۲-۲۲- آرایش های مختلف مورد استفاده در مرجع [10] ----- ۳۹

شکل ۲-۲۳- تاثیر آرایش های مختلف دندانه ها بر عدد نوسلت متوسط [10] ----- ۴۰

شکل ۲-۲۴- مقایسه نتایج آزمایش برای دو حالت دارای حفره های فرار و بدون آن ها [10] ----- ۴۱

شکل ۲-۲۵- آرایش دندانه ها در مرجع [11] ----- ۴۱

شکل ۲-۲۶- توزیع  $NU/NU_0$  روی محور مرکزی کانال در مرجع [11] ----- ۴۲

شکل ۲-۲۷- انتقال حرارت کانال دندانه دار (▼، ♦، + مکان های متفاوت ترموکوپل روی سطح را نشان

می دهد.) ----- ۴۴

شکل ۲-۳۰- انتقال حرارت در مورد (F) دارای دندانه های متقاطع در شکل ۲-۲۸ مربوط به مرجع [12] ۴۶

- شکل ۲-۳۱- نمایی از کانال به کار رفته در آزمایشات مرجع [13] ----- ۴۷
- شکل ۲-۳۲- اثر دندان‌های جدا از دیواره بر رفتار جریان در کانال ----- ۴۸
- شکل ۲-۳۳- کانال به کار رفته در آزمایشات مرجع [14] ----- ۴۹
- شکل ۲-۳۴- (A) جریان‌های ثانویه (B) میدان دما، در کانال دندان‌دار ----- ۵۰
- شکل ۲-۳۵- هندسه و آرایش دندان‌ها مربوط به مرجع [15] ----- ۵۱
- شکل ۲-۳۶- شکل مربوط به مرجع [16] ----- ۵۲
- شکل ۲-۳۸- توزیع متوسط نوسلت مربوط به موارد C3 و C4 ----- ۵۵
- شکل ۲-۳۹- توسعه مولفه‌های سرعت در یک مقطع عمودی از کانال مستقیم (تجربی، DES و LES) ----- ۵۶
- شکل ۲-۴۰- مقایسه فاکتور اصطکاک محاسبه شده از روش DES در مرجع [17] با نتایج LES ----- ۵۷
- شکل ۲-۴۱- مقایسه نتایج DES و تجربی ----- ۵۷
- شکل ۲-۴۲- هندسه مرجع [18] ----- ۵۸
- شکل ۲-۴۳- مقایسه انتقال حرارت LES و تجربی شکل ۲-۴۴- مقایسه سرعت محوری و نوسانات  
سرعت ----- ۵۹
- شکل ۲-۴۵- کانال مورد مطالعه توسط مرجع [19] ----- ۵۹
- شکل ۲-۴۶- آرایش دندان‌ها در محاسبات مربوط به شکل ۲-۴۵ ----- ۶۰
- فصل سوم
- شکل ۳-۱- مشخصات هندسه اول (ابعاد بر حسب متر) ----- ۶۴
- شکل ۳-۲- مشخصات هندسه دوم ----- ۶۴
- شکل ۳-۳- نمایی از میدان حل و شبکه به کار رفته در آن ----- ۶۶
- فصل چهارم
- شکل ۴-۱- تعریف پارامتر  $X/D$  و نمایش مقادیر آن در طول کانال ----- ۷۵
- شکل ۴-۲- الف مقایسه نتایج مدل اسپالارت - آلماراس و نتایج تجربی [۱۲] در هندسه دوم در حالت بدون  
چرخش ----- ۷۶

- شکل ۴-۲-ب مقایسه نتایج مدل اسپالارت - آلماراس و نتایج تجربی [۱۲] در هندسه دوم در حالت با چرخش ----- ۷۷
- شکل ۴-۳- مقایسه نتایج K-EPSILON و نتایج تجربی [12] در رینولدز ۵۰۰۰ برای دو حالت بدون چرخش و با چرخش ----- ۷۸
- شکل ۴-۴- مقایسه نتایج K-EPSILON و نتایج تجربی [12] در رینولدز ۱۰۰۰۰ در دو حالت بدون چرخش و با چرخش ----- ۷۹
- شکل ۴-۵- مقایسه نتایج K-EPSILON و نتایج تجربی [12] در عدد رینولدز ۲۵۰۰۰ ----- ۸۰
- شکل ۴-۶- مقایسه نتایج K-W SST و نتایج تجربی [12] در رینولدز ۵۰۰۰ ----- ۸۲
- شکل ۴-۷- مقایسه نتایج K-W SST و نتایج تجربی [12] در عدد رینولدز ۱۰۰۰۰ ----- ۸۳
- شکل ۴-۸- مقایسه نتایج K-W SST و نتایج تجربی [12] در رینولدز ۲۵۰۰۰ ----- ۸۴
- شکل ۴-۹- موقعیت مقاطع منتخب برای نمایش جریانهای ثانویه ----- ۸۸
- شکل ۴-۱۰- الگوی جریان ثانویه در مقاطع مشخص شده در شکل ۴-۹ برای کانال ساکن در عدد رینولدز ۵۰۰۰ ----- ۸۹
- شکل ۴-۱۱- الگوی جریان ثانویه در مقاطع مشخص شده در شکل ۴-۹ برای کانال چرخان در عدد رینولدز ۵۰۰۰ ----- ۹۰
- شکل ۴-۱۲- نمایش جهت نیروی کوریولیس وارد بر ذرات سیال در دو گذرگاه اول و دوم کانال چرخان ----- ۹۱
- شکل ۴-۱۳- توزیع فشار در مقاطع منتخب از کانال ساکن در عدد رینولدز ۵۰۰۰ ----- ۹۳
- شکل ۴-۱۴- توزیع فشار در مقاطع منتخب از کانال چرخان در عدد رینولدز ۵۰۰۰ ----- ۹۴
- شکل ۴-۱۵- توزیع دما در مقاطع منتخب از کانال ساکن در عدد رینولدز ۵۰۰۰ ----- ۹۵
- شکل ۴-۱۶- توزیع دما در مقاطع منتخب از کانال چرخان در عدد رینولدز ۵۰۰۰ ----- ۹۶
- شکل ۴-۱۷- توزیع سرعت در مقاطع منتخب کانال ساکن در عدد رینولدز ۵۰۰۰ ----- ۹۷
- شکل ۴-۱۸- توزیع سرعت در مقاطع منتخب کانال چرخان در عدد رینولدز ۵۰۰۰ ----- ۹۸
- شکل ۴-۱۹- توزیع انرژی جنبشی توربولانسی در مقاطع منتخب کانال ساکن در عدد رینولدز ۵۰۰۰ ----- ۹۹

شکل ۴-۲۰- توزیع انرژی جنبشی توربولانسی در مقاطع منتخب کانال چرخان در رینولدز ۵۰۰۰ -- ۱۰۰

شکل ۴-۲۱- کانتورهای دما و سرعت در صفحه تقارن کانال در هندسه دوم و رینولدز ۱۰۰۰۰ --- ۱۰۱

شکل ۴-۲۲- کانتورهای فشار و انرژی جنبشی توربولانسی در صفحه تقارن کانال در هندسه دوم و

رینولدز ۱۰۰۰۰ ----- ۱۰۱

شکل ۴-۲۳- مقایسه نمودار عدد ناسلت موضعی بین هندسه‌های دوم الی ششم در رینولدز ۵۰۰۰ (کانال

ساکن) ----- ۱۰۳

شکل ۴-۲۴- مقایسه عدد ناسلت موضعی بین هندسه‌های دوم الی ششم در رینولدز ۵۰۰۰ (دیواره حمله-

کانال چرخان) ----- ۱۰۳

شکل ۴-۲۵- مقایسه عدد ناسلت موضعی بین هندسه‌های دوم الی ششم در رینولدز ۵۰۰۰ (دیواره فرار -

کانال چرخان) ----- ۱۰۴

شکل ۴-۲۶- مقایسه نمودار عدد ناسلت موضعی بین هندسه‌های دوم الی ششم در رینولدز ۱۰۰۰۰ (کانال

ساکن) ----- ۱۰۴

شکل ۴-۲۷- مقایسه عدد ناسلت موضعی بین هندسه‌های دوم الی ششم در رینولدز ۱۰۰۰۰ (دیواره حمله-

کانال چرخان) ----- ۱۰۵

شکل ۴-۲۸- مقایسه ناسلت موضعی بین هندسه‌های دوم الی ششم در رینولدز ۱۰۰۰۰ (دیواره فرار-کانال

چرخان) ----- ۱۰۵

شکل ۴-۲۹- مقایسه ناسلت موضعی بین هندسه‌های دوم الی ششم در رینولدز ۲۵۰۰۰ (کانال ساکن) ۱۰۶

شکل ۴-۳۰- مقایسه عدد ناسلت موضعی بین هندسه‌های دوم الی ششم در رینولدز ۲۵۰۰۰ (دیواره حمله

- کانال چرخان) ----- ۱۰۶

شکل ۴-۳۱- مقایسه ناسلت موضعی بین هندسه‌های دوم الی ششم در رینولدز ۲۵۰۰۰ (دیواره فرار -

چرخان) ----- ۱۰۷

شکل ۴-۳۲- مقایسه قدرت گردابه در مقاطع منتخب از هندسه‌های دوم، سوم و ششم برای  $Re = 10000$

----- ۱۰۹

- شکل ۴-۳۳- مقایسه قدرت گردابه در مقاطع منتخب از هندسه‌های دوم، سوم و ششم برای  $RE=25000$
- ۱۰۹-----
- شکل ۴-۳۴- مقایسه متوسط ناسلتها بین هندسه دوم الی ششم در حالت بدون چرخش ----- ۱۱۰
- شکل ۴-۳۵- مقایسه متوسط عدد ناسلت متوسط بین هندسه دوم الی ششم در کانال چرخان ---- ۱۱۱
- شکل ۴-۳۶- مقایسه افت فشار بین هندسه دوم الی ششم در حالت بدون چرخش ----- ۱۱۲
- شکل ۴-۳۷- مقایسه افت فشار بین هندسه دوم الی ششم در کانال چرخان ----- ۱۱۳
- شکل ۴-۳۸- مقایسه ضریب عملکرد کانال بین هندسه‌های دوم الی ششم در حالت‌های ساکن و چرخان
- ۱۱۵-----
- شکل ۴-۳۹- تغییرات دمای بالک در اثر تغییر ارتفاع دندانها در کانال ساکن ( $RE=10000$ ) ----- ۱۱۶
- شکل ۴-۴۰- تغییرات دمای بالک در اثر تغییر ارتفاع دندانها در کانال چرخان ( $RE=10000$ ) ----- ۱۱۷
- شکل ۴-۴۱- مقایسه عدد ناسلت موضعی بین هندسه دوم، هفتم، ...، دهم در کانال ساکن و عدد رینولدز
- ۵۰۰۰----- ۱۱۸
- شکل ۴-۴۲- مقایسه عدد ناسلت موضعی بین هندسه دوم، هفتم، ...، دهم در دیوار حمله کانال چرخان و
- عدد رینولدز ۵۰۰۰ ----- ۱۱۸
- شکل ۴-۴۳- مقایسه عدد ناسلت موضعی بین هندسه دوم، هفتم، ...، دهم در دیوار فرار کانال چرخان و
- عدد رینولدز ۵۰۰۰ ----- ۱۱۹
- شکل ۴-۴۴- مقایسه ناسلت موضعی بین هندسه دوم، هفتم، ...، دهم در کانال ساکن و عدد رینولدز ۱۰۰۰۰
- ۱۱۹-----
- شکل ۴-۴۵- مقایسه ناسلت موضعی بین هندسه دوم، هفتم، ...، دهم در دیوار حمله کانال چرخان و عدد
- رینولدز ۱۰۰۰۰ ----- ۱۲۰
- شکل ۴-۴۶- مقایسه ناسلت موضعی بین هندسه دوم، هفتم، ...، دهم در دیوار فرار کانال چرخان و عدد
- رینولدز ۱۰۰۰۰ ----- ۱۲۰

شکل ۴-۴۷- مقایسه ناسلت موضعی بین هندسه دوم، هفتم، ...، دهم در کانال ساکن و عدد رینولدز

۲۵۰۰۰ ----- ۱۲۱

شکل ۴-۴۸- مقایسه ناسلت موضعی بین هندسه دوم، هفتم، ...، دهم در دیوار حمله کانال چرخان و عدد

رینولدز ۲۵۰۰۰ ----- ۱۲۱

شکل ۴-۴۹- مقایسه ناسلت موضعی بین هندسه دوم، هفتم، ...، دهم در دیوار فرار کانال چرخان و عدد

رینولدز ۲۵۰۰۰ ----- ۱۲۲

شکل ۴-۵۰- مقایسه افت فشار در هندسه‌های دوم، هفتم، ...، دهم در کانال ساکن ----- ۱۲۳

شکل ۴-۵۱- مقایسه افت فشار در هندسه‌های دوم، هفتم، ...، دهم در کانال چرخان ----- ۱۲۳

شکل ۴-۵۲- معرفی نواحی برگشتی و بازپیوستن [۱] ----- ۱۲۴

شکل ۴-۵۳- هندسه هفتم، کانال بدون چرخش در  $RE = 5000$  ----- ۱۲۵

شکل ۴-۵۴- هندسه دوم، کانال بدون چرخش در  $RE = 5000$  ----- ۱۲۵

شکل ۴-۵۵- هندسه دهم، کانال بدون چرخش در  $RE = 5000$  ----- ۱۲۵

شکل ۴-۵۶- تغییرات عدد ناسلت متوسط در اثر تغییر عرض دندانه‌ها (کانال ساکن) ----- ۱۲۶

شکل ۴-۵۷- تغییرات عدد ناسلت متوسط در اثر تغییر عرض دندانه‌ها (کانال چرخان) ----- ۱۲۶

شکل ۴-۵۹- مقایسه عملکرد حرارتی کانال بین هندسه‌های دوم، هفتم، ...، دهم ----- ۱۲۸

شکل ۴-۶۰- راستای حرکت جریان های ثانویه تحت تاثیر زاویه دندانه ها [1] ----- ۱۲۹

شکل ۴-۶۱- مقایسه ناسلت موضعی بین هندسه دوم، یازدهم، دوازدهم، سیزدهم رینولدز ۵۰۰۰ (کانال

ساکن) ----- ۱۳۰

شکل ۴-۶۲- مقایسه ناسلت موضعی هندسه دوم، یازدهم، دوازدهم، سیزدهم رینولدز ۵۰۰۰ (دیواره

حمله-کانال چرخان) ----- ۱۳۰

شکل ۴-۶۳- مقایسه ناسلت موضعی بین هندسه دوم، یازدهم، دوازدهم، سیزدهم (دیوار فرار-کانال

چرخان) ----- ۱۳۱

- شکل ۴-۶۴- مقایسه ناسلت موضعی بین هندسه دوم، یازدهم، دوازدهم، سیزدهم رینولدز (۱۰۰۰۰) کانال ساکن) ----- ۱۳۱
- شکل ۴-۶۵- مقایسه ناسلت موضعی بین هندسه دوم، یازدهم، دوازدهم، سیزدهم رینولدز (۱۰۰۰۰) دیوار حمله) ----- ۱۳۲
- شکل ۴-۶۶- مقایسه ناسلت موضعی بین هندسه دوم، یازدهم، دوازدهم، سیزدهم رینولدز (۱۰۰۰۰) دیوار فرار) ----- ۱۳۲
- شکل ۴-۶۷- مقایسه ناسلت موضعی بین هندسه دوم، یازدهم، دوازدهم، سیزدهم رینولدز ۲۵۰۰۰ (غیر چرخان) ----- ۱۳۳
- شکل ۴-۶۸- مقایسه ناسلت موضعی بین هندسه دوم، یازدهم، دوازدهم، سیزدهم رینولدز ۲۵۰۰۰ (دیوار حمله) ----- ۱۳۳
- شکل ۴-۶۹- مقایسه ناسلت موضعی بین هندسه دوم، یازدهم، دوازدهم، سیزدهم رینولدز ۲۵۰۰۰ (دیوار فرار) ----- ۱۳۴
- شکل ۴-۷۰- ضریب عملکرد کانال تحت زوایای متفاوت دندانه (هندسه‌های دوم، یازدهم، دوازدهم، سیزدهم) ----- ۱۳۵
- شکل ۴-۷۱- کانتور فشار روی صفحات مجاور دیواره دندانه‌دار در کانال ساکن و عدد رینولدز ۵۰۰۰ (دندانه با زاویه صفر درجه) ----- ۱۳۶
- شکل ۴-۷۲- کانتور فشار روی صفحات الف- مجاور دیواره حمله ب- مجاور دیواره فرار در کانال چرخان و عدد رینولدز ۵۰۰۰ (دندانه با زاویه صفر درجه) ----- ۱۳۶
- شکل ۴-۷۳- کانتور فشار روی صفحات الف- مجاور دیواره در کانال ساکن ب- مجاور دیواره حمله ج- مجاور دیواره فرار در کانال چرخان و عدد رینولدز ۵۰۰۰ (دندانه با زاویه ۳۰ درجه) ----- ۱۳۸
- شکل ۴-۷۴- کانتور فشار روی صفحات الف- مجاور دیواره در کانال ساکن ب- مجاور دیواره حمله ج- مجاور دیواره فرار در کانال چرخان و عدد رینولدز ۵۰۰۰ (دندانه با زاویه ۴۵ درجه) ----- ۱۳۸

- شکل ۴-۷۵- کانتور فشار روی صفحات الف- مجاور دیواره در کانال ساکن ب- مجاور دیواره حمله ج-
- مجاور دیواره فرار در کانال چرخان و عدد رینولدز ۵۰۰۰ (دندان با زاویه ۶۰ درجه) ----- ۱۳۹
- شکل ۴-۷۶- کانتور دما روی صفحات الف- مجاور دیواره در کانال ساکن ب- مجاور دیواره حمله ج-
- مجاور دیواره فرار در کانال چرخان و عدد رینولدز ۵۰۰۰ (دندان با زاویه صفر درجه) ----- ۱۳۹
- شکل ۴-۷۷- کانتور دما روی صفحات الف- مجاور دیواره در کانال ساکن ب- مجاور دیواره حمله ج-
- مجاور دیواره فرار در کانال چرخان و عدد رینولدز ۵۰۰۰ (دندان با زاویه ۳۰ درجه) ----- ۱۴۰
- شکل ۴-۷۸- کانتور دما روی صفحات الف- مجاور دیواره در کانال ساکن ب- مجاور دیواره حمله ج-
- مجاور دیواره فرار در کانال چرخان و عدد رینولدز ۵۰۰۰ (دندان با زاویه ۴۵ درجه) ----- ۱۴۰
- شکل ۴-۷۹- کانتور دما روی صفحات الف- مجاور دیواره در کانال ساکن ب- مجاور دیواره حمله ج-
- مجاور دیواره فرار در کانال چرخان و عدد رینولدز ۵۰۰۰ (دندان با زاویه ۶۰ درجه) ----- ۱۴۱
- ۴-۸۰- تغییرات دمای بالک در اثر تغییر زاویه دندان در عدد رینولدز ۵۰۰۰ ----- ۱۴۲
- ۴-۸۱- تاثیر تغییر زاویه دندانها بر پارامتر سیرکولاسیون در عدد رینولدز ۵۰۰۰ ----- ۱۴۴
- شکل ۴-۸۲- بررسی استقلال از شبکه در حل هندسه ششم در رینولدز ۱۰۰۰۰ (کانال ساکن) --- ۱۴۶
- شکل ۴-۸۳- بررسی استقلال از شبکه در حل هندسه ششم در رینولدز ۱۰۰۰۰ (کانال چرخان) -- ۱۴۶
- فصل پنجم
- شکل ۵-۱- رنج‌های مختلف ادیها در جریان لایه‌ای مخلوط شونده [20] ----- ۱۴۹
- شکل ۵-۲- نمایش مانده‌های منتج از LES (کانال ساکن در رینولدز ۱۰۰۰۰) ----- ۱۵۱
- شکل ۵-۳- نمودار تغییرات سرعت با زمان برای یک نقطه انتخابی واقع در ناحیه ورودی خم --- ۱۵۲
- شکل ۵-۴- تغییرات موضعی فشار برای نقطه انتخابی در ناحیه ورودی خم (نمای نزدیک از ناحیه مشخص شده در شکل بعد) ----- ۱۵۳
- شکل ۵-۵- نمای نزدیک از ناحیه مشخص شده در شکل قبل ----- ۱۵۳
- شکل ۵-۶- رفتار پریودیک جریان ثانویه در یک مقطع منتخب از کانال در طول زمان ----- ۱۵۴
- شکل ۵-۷- رفتار غیردائم و پریودیک فشار در یک مقطع منتخب از کانال در طول زمان ----- ۱۵۵

- شکل ۵-۸- رفتار غیردائم و پریودیک دما در یک مقطع منتخب از کانال در طول زمان ----- ۱۵۵
- شکل ۵-۹- مقایسه نتایج LES با نتایج تجربی [12] و نتایج مدل K-EPSILON در کانال ساکن، هندسه دوم  
----- (RE=5000) ۱۵۶
- شکل ۵-۱۰- مقایسه نتایج LES با نتایج تجربی [12] در کانال چرخان، هندسه دوم (RE=5000) -- ۱۵۷
- شکل ۵-۱۱- مقایسه نتایج LES با نتایج مدل K-EPSILON در کانال چرخان، هندسه دوم (RE=5000) ۱۵۷
- شکل ۵-۱۲- مقایسه نتایج LES با نتایج تجربی [12] و نتایج مدل K-W SST در کانال ساکن، هندسه دوم  
----- (RE=10000) ۱۵۸
- شکل ۵-۱۳- مقایسه نتایج LES با نتایج تجربی [12] در کانال چرخان، هندسه دوم (RE=10000) - ۱۵۸
- شکل ۵-۱۴- مقایسه نتایج LES با نتایج مدل K-W SST در کانال چرخان، هندسه دوم (RE=10000) ۱۵۹
- شکل ۵-۱۵- مقایسه نتایج LES با نتایج تجربی [12] و مدل K-W SST در کانال ساکن، هندسه دوم  
----- (RE=25000) ۱۵۹
- شکل ۵-۱۶- مقایسه نتایج LES با نتایج تجربی [12] در کانال چرخان، هندسه دوم (RE=25000) -- ۱۶۰
- شکل ۵-۱۷- مقایسه نتایج LES با نتایج مدل K-W SST در کانال چرخان، هندسه دوم (RE=25000) ۱۶۰
- شکل ۵-۱۸- افت فشار در کانال ساکن و چرخان هندسه دوم و مقایسه با افت فشار محاسبه شده توسط  
مدل دو معادله‌ای ----- ۱۶۲
- شکل ۵-۱۹- ضریب عملکرد حرارتی در کانال ساکن و چرخان هندسه دوم و مقایسه نتایج LES با مدل دو  
معادله‌ای ----- ۱۶۳
- شکل ۵-۲۰- صفحات کمکی شماره ۱ الی ۳ (راستای جریان عمود بر صفحات ۱ الی ۳ است.) ---- ۱۶۴
- شکل ۵-۲۱- خطوط جریان در صفحه شماره ۱ در کانال ساکن (RE=10000, T= 12 SEC) ----- ۱۶۴
- شکل ۵-۲۲- خطوط جریان در صفحه شماره 2 در کانال ساکن (RE=10000, T= 12 SEC) ----- ۱۶۵
- شکل ۵-۲۳- خطوط جریان در صفحه شماره 3 در کانال ساکن (RE=10000, T= 12 SEC) ----- ۱۶۵
- شکل ۵-۲۴- خطوط جریان در صفحه شماره ۱ در کانال چرخان (RE=10000, T= 12 SEC) ----- ۱۶۶
- شکل ۵-۲۵- خطوط جریان در صفحه شماره ۲ در کانال چرخان (RE=10000, T= 12 SEC) ----- ۱۶۶

شکل ۵-۲۶- خطوط جریان در صفحه شماره ۳ در کانال چرخان (RE=10000, T= 12 SEC) ----- ۱۶۷